

دانشگاه ولی‌عصر(عج) رفسنجان

دانشکده علوم

گروه فیزیک

پایان‌نامه‌ی کارشناسی ارشد رشته‌ی فیزیک گرایش لیزر

تولید هماهنگ دوم در برهم‌کنش‌های لیزر - پلاسما با اعمال میدان
مغناطیسی دوره‌ای

استاد راهنما:

دکتر حسن رنجبر عسکری

پژوهشگر:

زهرا آزیش

مهر ماه ۱۳۸۸

مقطع تحصیلی: کارشناسی ارشد

نام و نام خانوادگی: زهره آزیش

دانشکده‌ی: علوم پایه

رشته و گرایش: فیزیک لیزر

تاریخ دفاع: ۸۸/۷/۲۹

استاد راهنما: دکتر حسن رنجبر عسکری

چکیده

در یک پلاسمای همسانگرد، تنها می‌توان هماهنگ‌های فرد را تولید نمود. لذا در این پایان‌نامه، با اعمال یک میدان مغناطیسی شرایط ایجاد هماهنگ‌های زوج را نیز فراهم نمودیم. همچنین با استفاده از ایده‌ی بلورهای فوتونی، از یک میدان مغناطیسی زمینه‌ی دوره‌ای استفاده کردیم که این دوره‌ای بودن سبب می‌شود که هم شرط انطباق فاز را برای هماهنگ دوم ایجاد نماید و هم سبب تولید هماهنگ‌های دوم با طول موج‌های مختلف درون پلاسما شود. منابع تولید امواج الکترومغناطیسی در فرآیندهای غیرخطی بستگی به نوع محیط دارد که این منابع، در محیط‌های دی الکتریک، مشتق دوم زمانی بردار قطبش الکتریکی و در پلاسما که یک محیط رسانا است، مشتق اول زمانی بردار چگالی جریان الکتریکی است. واکنش دی الکتریک به میدان الکتریکی با تansورهای پذیرفتاری و در محیط رسانا با تansورهای هدایت الکتریکی مشخص می‌شود. همچنین در این پایان‌نامه، مؤلفه‌های تansورهای غیرخطی مرتبه‌ی دوم و سوم هدایت الکتریکی را در فرآیند تولید هارمونیک دوم در یک پلاسمای سرد مغناطیسی به دست می‌آوریم.

فهرست مطالب

صفحه	عنوان
------	-------

فصل اول مقدمه

۲	- مقدمه
---	---------

فصل دوم مقدمه‌ای بر فیزیک پلاسما

۵	-۱- تاریخچه‌ی پلاسما
۶	-۲- پلاسما چیست؟
۷	-۳- انواع پلاسما
۷	-۱-۳-۲- پلاسماهای نجومی
۷	-۲-۳-۲- پلاسماهای آزمایشگاهی
۸	-۴- خصوصیات محیط پلاسما
۱۰	-۵-۲- کاربردهای پلاسما
۱۰	-۱-۵-۲- تخلیه‌ی گازی
۱۱	-۲-۵-۲- همچو شی گرما هسته‌ای کنترل شده
۱۱	-۳-۵-۲- فیزیک فضا
۱۱	-۶- پلاسمای غیرمغناطیسی
۱۲	-۷-۲- پلاسمای مغناطیسی
۱۲	-۸-۲- رفتار دینامیکی پلاسما
۱۳	-۹-۲- معادلات انتقال ماکروسکوپی
۱۴	-۱-۹-۲- معادله‌ی انتقال جرم
۱۵	-۲-۹-۲- معادله‌ی انتقال تکانه
۱۶	-۳-۹-۲- تابع انتقال انرژی
۱۷	-۱۰-۲- تقریب پلاسمای سرد

فصل سوم اپتیک غیرخطی

۱۹	-۱-۳- مقدمه
۲۰	-۲-۳- اپتیک غیر خطی

۲۰ ۳-۳- قطبش.
۲۳ ۴-۴- تقارن های موجود در محیط دی الکتریک.
۲۳ ۴-۱- تقارن میدان های حقیقی.
۲۳ ۴-۲- تقارن جایگشت ذاتی.
۲۴ ۴-۳- تقارن جایگشت کامل.
۲۴ ۴-۴- تقارن کلایمن.
۲۵ ۵-۳- معادلات ماکسول در اپتیک غیرخطی.
۲۶ ۶-۳- تولید هماهنگ دوم و شرط انطباق فاز.
فصل چهارم بررسی شرط انطباق فاز در تولید هماهنگ دوم توسط میدان مغناطیسی دورهای	
۳۱ ۴-۱- مقدمه.
۳۲ ۴-۲- معادلات حاکم بر محیط پلاسما.
۳۲ ۴-۳- پلاسما با میدان مغناطیسی دورهای زمینه.
۳۴ ۴-۴- میدان الکتریکی امواج با فرکانس لیزر.
۳۴ ۴-۱- محاسبه‌ی کمیت‌های فیزیکی دورهای با فرکانس لیزر اختلال صفرم.
۳۶ ۴-۲- محاسبه‌ی کمیت‌های فیزیکی دورهای با فرکانس لیزر اختلال اول.
۴۰ ۴-۵- میدان الکتریکی هماهنگ دوم.
۴۰ ۴-۱-۵- محاسبه‌ی کمیت‌های فیزیکی دورهای هماهنگ دوم با اختلال صفرم.
۴۲ ۴-۲-۵- محاسبه‌ی کمیت‌های فیزیکی دورهای هماهنگ دوم با اختلال اول.
۴۶ ۴-۳-۵- محاسبات عددی هماهنگ دوم.
۵۰ ۴-۶- نتیجه‌گیری.
فصل پنجم محاسبه‌ی تانسورهای هدایت الکتریکی	
۵۲ ۵-۱- مقدمه.
۵۳ ۵-۲- معادلات حاکم بر محیط پلاسما.
۵۹ ۵-۳- پلاسما با میدان مغناطیسی زمینه‌ی ویگلر.
۶۰ ۵-۴- محاسبه‌ی مؤلفه‌های تانسور مرتبه‌ی دوم هدایت الکتریکی.
۶۱ ۵-۱-۴- محاسبه‌ی مؤلفه‌های تانسور مرتبه‌ی دوم هدایت الکتریکی اختلال صفرم.
۶۲ ۵-۲-۴- محاسبه‌ی مؤلفه‌های تانسور مرتبه‌ی دوم هدایت الکتریکی اختلال اول.

٦٥.....	محاسبه‌ی مؤلفه‌های تانسور مرتبه‌ی سوم هدایت الکتریکی
٦٦.....	١- محاسبه‌ی مؤلفه‌های تانسور مرتبه‌ی سوم هدایت الکتریکی اختلال صفرم
٦٩.....	٢- محاسبه‌ی مؤلفه‌های تانسور مرتبه‌ی سوم هدایت الکتریکی اختلال اول
٧٤.....	٦- نتیجه‌گیری

فصل ششم

٧٨.....	١- نتیجه‌گیری و پیشنهادات
٨٠.....	منابع

فهرست شکل‌ها

- شکل(۱-۱)- توصیف طرح مانندی از برهم‌کش‌ها در فرآیندهای غیرخطی مرتبه‌ی دوم ۲
- شکل (۱-۲)- نحوه‌ی تبدیل چهار حالت ماده به یکدیگر ۶
- شکل (۱-۴)- نمودار $|A_2^\circ/A_0|$ از چپ به‌ترتیب به‌ازای زمان‌های ۱۰، ۲۰ و ۳۰ و ۴۰ فرمتوثانیه ۴۷
- شکل (۲-۴)- نمودار $|A_{21}^1/A_0|$ برای میدان مغناطیسی حالت اول از چپ به‌ترتیب به‌ازای زمان‌های ۱۰، ۲۰ و ۳۰ و ۴۰ فرمتوثانیه ۴۷
- شکل (۳-۴)- نمودار $|A_{21}^1/A_0|$ برای میدان مغناطیسی حالت دوم از چپ به‌ترتیب به‌ازای زمان‌های ۱۰، ۲۰ و ۳۰ و ۴۰ فرمتوثانیه ۴۸
- شکل (۴-۴)- نمودار $|A_{2n}^1/A_0|$ برای میدان مغناطیسی حالت اول در مرکز به‌ازای $n = 0$ و در سمت راست نمودار به‌ترتیب به‌ازای $n = 3, 5, 7, 9, 11, 13$ و در سمت چپ تصویر برای ۴۹
- شکل (۴-۵)- نمودار $|A_{2n}^1/A_0|$ برای میدان مغناطیسی حالت دوم در مرکز به‌ازای $n = 0$ و در سمت راست نمودار به‌ترتیب به‌ازای $n = 3, 5, 7, 9, 11, 13$ و در سمت چپ تصویر برای ۴۹
- شکل (۵-۱)- نحوه‌ی برخورد باریکه‌ی لیزر با پلاسمما را نشان می‌دهد ۶۰

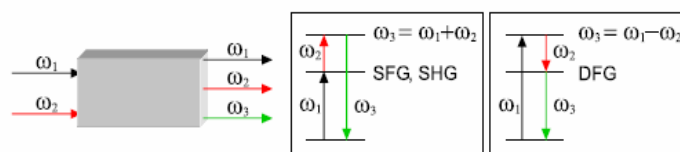
فصل اول

مقدمه

تولید هماهنگ دوم به عنوان اولین پدیده‌ی اپتیک غیرخطی توسط فرانکن^۱ و همکارانش (۱۹۶۱) شناخته شده است [۱]. در این فرآیند پرتویی با فرکانس ω وارد محیط می‌شود و در اثر برهمنکنش ماده با میدان، پرتویی در هماهنگ دوم با فرکانس ω_2 تابش می‌شود.

مدتی بعد، فرآیند جمع فرکانسی در سال ۱۹۶۲ مطرح شد [۲]. در این فرآیند دو موج با فرکانس‌های مجزای ω_1 و ω_2 وارد محیط می‌شوند و در اثر برهمنکنش ماده با میدان، پرتویی با فرکانس $\omega_1 + \omega_2$ تابش می‌شود.

فرآیند تولید تفاضل فرکانسی در سال ۱۹۶۳ مطرح شد [۳ و ۴]. در این فرآیند انرژی فوتون ورودی کاهش می‌یابد و در اثر برهمنکنش ماده با میدان، پرتویی با فرکانس $\omega_1 - \omega_2$ تابش می‌شود. به طوری که فرآیندهای بالا در شکل (۱-۱) نشان داده شده است [۵].



شکل (۱-۱): توصیف طرح مانندی از برهمنکنش‌ها در فرآیندهای غیرخطی مرتبه‌ی دوم.

^۱ Franken et al

آگراوا و همکارانش^۱، تولید هماهنگ دوم تشديدي را با امواج ميليمتری در موجبر پرشده از پلاسما در حضور ميدان مغناطيسي ويگلر ماريچي مطالعه کردند[۶].

ويسمن و همکارانش^۲، تولید هماهنگ دوم را در موجبرهای قطعه‌ای متنابه منطبق شبه فاز تشديد-براگ مطالعه نمودند[۷].

سينگ و همکارانش^۳، يك چگالي موج دار را در پلاسما نشان دادند که می‌تواند بهطور مناسب در تولید هماهنگ دوم تشديدي به کار گرفته شود و بهره‌ی فرآيند به زاویه‌ی بين چگالي موج دار و ليزر فرودي و انرژي باريکه بستگی دارد. چگالي موج دار، تکانه اضافي مورد نياز در هماهنگ دوم را برای انتباطق فاز فراهم می‌کند[۸].

سينگ و همکارانش، همچنان نشان دادند هنگامی که ليزر توان بالاي قطبش- p بهطور مایل روی پلاسمای فروچگال فرود آيد، تولید هماهنگ دوم و سوم را متحمل می‌شود و شدت اين هماهنگ‌ها متناسب با جذر جريان است. همچنان نشان دادند که اگر يك ليزر شدت بالا بهطور مایل بروي فصل مشترک پلاسما-خلاء فرود آيد، تابش هماهنگ دوم در مؤلفه‌های بازناتی از مرز پلاسما تولید می‌شوند و بهره‌ی تولید هماهنگ دوم با افزایش زاویه‌ی خروجی افزایش می‌يابد و زاویه‌ی بحرانی فرودی و بهره به چگالي الکترون‌ها بستگی دارد[۹ و ۱۰].

نيکتا و شارما^۴، نيز پيبردنده که ميدان ويگلر نقش ديناميكي را در توليد جريان هماهنگ عرضي و نقش سينماتيكي در برقراری انتباطق فاز ايقا می‌کند[۱۱ و ۱۲].

در فصل دوم شرح مختصري درمورد پلاسما، ويژگي‌های پلاسما و کاربردهای آن داده شده است. در اين فصل همچنان با استفاده از تابع توزيع بولتزمن، توابع انتقال جرم، تکانه و انرژي را به دست می‌آوريم.

در فصل سوم ابتدا اپتيك غيرخطي را توصيف می‌کنيم، سپس شكل کلي برهم‌کنش نور با ماده را توضيح می‌دهيم. در اين فصل تقارن‌های موجود در محیط دی‌الکتریک را بیان می‌کنيم. سپس با استفاده از معادلات ماکسول، معادله‌ی کلي موج را به دست می‌آوريم. همچنان نحوه تولید هماهنگ دوم و شرایط ايجاد انتباطق فاز را توضيح می‌دهيم.

در فصل چهارم با اعمال ميدان مغناطيسي زمينه‌ی دوره‌ای شرایط توليد هماهنگ دوم را فراهم می‌کنيم. سپس با استفاده از معادلات انتقال جرم، تکانه و معادلات ماکسول، معادله‌ی موج پالس ايجاد شده در فرآيند توليد هماهنگ دوم را مورد بررسی قرار داديم. در اين فصل همچنان شرایط ايجاد انتباطق فاز را برای حالتی که ميدان مغناطيسي زمينه‌ی دوره‌ای اعمال می‌شود، بررسی می‌کنيم.

در فصل پنجم با اعمال ميدان مغناطيسي زمينه‌ی ويگلر، شرایط توليد هماهنگ دوم را فراهم می‌کنيم و معادله‌ی موج پالس ايجاد شده در فرآيند توليد هماهنگ دوم را بررسی می‌کنيم. سپس با استفاده از تعريف چگالي جريان الکتریکی برای پلاسمای الکتروني، تانسورهای هدایت الکتریکی مرتبه‌ی دوم و سوم را به دست می‌آوريم.

¹ Agrawal et al

² Weissman et al

³ Singh et al

⁴ Nitikant and Sharma

فصل دوم

مقدمه‌ای بر فیزیک پلاسما

۱-۲ تاریخچه پلاسما

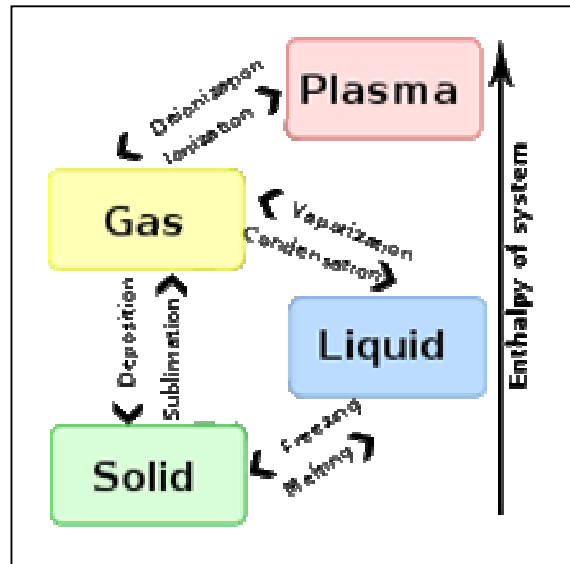
در اواسط قرن نوزدهم، دانشمند فیزیولوژی اهل چکوسلواکی جوهانس پارکینج^۱ (۱۷۸۷-۱۸۶۹) استفاده از واژه‌ی یونانی پلاسما (به معنی قالب شده یا به‌شکل درآورده شده) را برای مشخص کردن سیال شفافی که بعد از تفکیک همه‌ی اجزای ماده در خون باقی می‌ماند، مطرح کرد. نیم قرن بعد، در سال ۱۹۲۷، شیمیدان آمریکایی برنده جایزه‌ی نوبل، ایروینگ لانگمویر^۲، اولین بار از این عبارت در توصیف یک گاز یونیزه شده استفاده کرد. لانگمویر با برداشت از پلاسمای خون که گلوبول‌های قرمز و سفید را حمل می‌کند، حرکت الکترون‌ها و یون‌ها را در مسیر سیال الکتریکی مطرح نمودند. در این فرآیند لانگمویر تئوری پوشش‌های پلاسمایی را ارائه داد، لایه‌های مرزی که بین پلاسمای یونیزه شده و سطح جامد ایجاد می‌شود. ایشان همچنین به این مسئله که ناحیه‌ی مشخصی از لوله تخلیه‌ی پلاسما تغییرات متناوبی از چگالی الکترون‌ها را نشان می‌دهد، پی‌بردن که امروزه به نام امواج لانگمویر شناخته می‌شوند. این منشأ پیدایش فیزیک پلاسما بود[۱۳].

¹ Johannes. Purkinje

² Irving. Langmuir

۲-۲ پلاسما چیست؟

پلاسما حالت چهارم ماده است. اگر جامدات و مایعات آنقدر حرارت ببینند که بر انرژی پتانسیل بستگی غلبه نمایند، در نهایت گذار فاز در یک فشار معین و در دمای ثابت مشاهده می‌شود. چنان‌چه یک گاز مولکولی انرژی لازم برای غلبه بر انرژی پیوستگی الکترون‌ها در بیرونی ترین مدار خود را بیابد، در این وضعیت یک گاز یونیزه یا پلاسما بوجود می‌آید. گذار گاز به پلاسما از دیدگاه ترمودینامیکی گذار فاز محسوب نمی‌شود، زیرا سایر تبدیل فازها، یعنی از جامد به مایع و مایع به گاز در دمای ثابت انجام می‌گیرد، اما تبدیل فاز از گاز به پلاسما تدریج‌با افزایش دما صورت می‌گیرد که در شکل (۱-۲) نشان داده شده است [۱۴]. پلاسماهای را می‌توان از یونیزاسیون گازهای خنثی نتیجه گرفت که شامل تعداد برابر حامل‌های بار منفی و مثبت هستند. در این وضعیت سیالاتی با بار مخالف، شدیداً به هم پیوسته‌اند و از لحاظ الکتریکی تمایل به خنثی کردن یکدیگر در طول مقیاس‌های ماکروسکوپی دارند. چنین پلاسماهایی را اصطلاحاً «شبه» به حالت انحراف کوچک از خنثیای کامل اشاره دارد که در نتایج دینامیکی برای نمونه‌های مشخصی از مدهای پلاسما به کار می‌رود. پلاسماهای شدیداً غیر خنثی که ممکن است دارای حتی یک نوع حامل بار باشند اولین بار در تجربیات آزمایشگاهی اتفاق افتاده‌اند، که تعادل آن‌ها وابسته به حضور میدان‌های مغناطیسی شدید بوده است [۱۳].



شکل (۱-۲): نحوه تبدیل چهار حالت ماده به یکدیگر

۲-۳ انواع پلاسما

پلاسما را از یک دیدگاه به دو دسته‌ی نجومی و آزمایشگاهی تقسیم بندی می‌کنند، که برای آشنایی مختصر در این قسمت به بیان آن‌ها می‌پردازیم.

۱-۳-۲ پلاسمای نجومی

در طبیعت پلاسمای نجومی متنوعی وجود دارد که محدوده‌ی وسیعی از چگالی و دما را دربر می‌گیرد که به چند نمونه از آن‌ها اشاره می‌شود.

درون خورشید و ستارگان، پلاسماهای خیلی داغ و چگال وجود دارد. زمانی که هسته‌ی یک اتم ذوب می‌شود، انرژی بستگی مطابق با فرمول مشهور انشتنین $E = mc^2$ ، آزاد می‌کند. چگالی و دمای پلاسما با نزدیکتر شدن به سطح ستاره افت می‌کند، بنابراین جو ستاره دارای ویژگی‌های کاملاً متفاوتی است. تاج خورشیدی که حتی خارجی‌تر است یک پلاسمای مغناطیسی‌شده‌ی رقیق با چندین میلیون درجه است. خورشید یک پلاسمای فراصوتی به شدت رقیقی را که بادخورشیدی نام دارد در میان منظومه‌ی شمسی گسیل می‌کند. در نزدیکی زمین بادخورشیدی دارای چگالی الکترونی $T_e = 10^5 K$, $n_e \cong 5 cm^{-3}$ می‌باشد، که به علت دمای بالا پلاسما دارای رسانایی بالا است.

اتم‌های بالای جو با تابش الکترومغناطیسی گسیل شده از خورشید برهم‌کنش می‌کنند و تا حدی یونیزه می‌شوند. این پلاسما را که تا حدود ۶۰ کیلومتر در ۲۰۰۰ متر ارتفاع گستردگی می‌شود، یونیسفر می‌نامند. یک نمونه کامل دیگر از پلاسماهای تولیدشده درون کوتوله‌های سفید یا ستاره‌های نوترونی هستند، که به شدت چگالی‌های بالا دارند، بنابراین رفتار بسیار متفاوتی با پلاسماهای ایده‌آل نوعی از خود نشان می‌دهند.

۲-۳-۲ پلاسمای آزمایشگاهی

روایت فیزیک پلاسمای آزمایشگاهی با بررسی پلاسماهای یونیزه شده‌ی شعله‌ها در قرن هجدهم آغاز شد. کاربردهای نمونه امروزی پلاسمایی که برای جوش‌کاری و احتراق استفاده می‌شود، از این دسته‌اند. تخلیه الکتریکی نمونه‌های گوناگون پلاسما، در تحقیقات پایه‌ای بررسی می‌شوند که در صنعت مورد استفاده قرار می‌گیرند. تخلیه فشار کم، مثل تخلیه تابان، جریان‌های کوچکی را با الکترودهای سرد حمل می‌کنند، از آن‌ها برای روشن کردن لیزرهای گازی مثل لیزر CO_2 استفاده می‌شود. تخلیه فشار بالا مثل قوس الکتریکی، می‌توانند جریان‌های بزرگ‌تری را حمل کنند، و به سبب

آن به دماهای بالاتری دست می‌یابند. این مورد در روشن کردن لامپ‌های جیوه‌ای فشار بالا برای کلیدزنی، پردازش مواد-پلاسما چون ذوب، قطع و جوش‌کاری به کار می‌روند.

۲-۴ خصوصیات محیط پلاسما

با توجه به این‌که هر گاز یونیزه شده‌ای پلاسما نیست، لذا محیط پلاسما دارای دو ویژگی به صورت زیر می‌باشد.

۱ - شبه خنثایی

محیط پلاسما در غیاب اختلالات خارجی از دیدگاه ماکروسکوپی و از نظر الکتریکی خنثی می‌باشد. به این معنا که تحت شرایط تعادل و در غیاب نیروهای خارجی تغییرات کمیتهای ماکروسکوپی مانند چگالی و دما ناچیز می‌باشد. درون پلاسما میدان‌های بار میکروسکوپی یکدیگر را خنثی می‌کنند و هیچ فضای بارداری در ناحیه‌ی ماکروسکوپی وجود ندارد. لذا بار الکتریکی خالص صفر است. اگر این خنثایی ماکروسکوپی ثبیت نمی‌شد انرژی پتانسیل در مقایسه با انرژی جنبشی گرمایی ذره بسیار بزرگ می‌شد. برای توضیح بیشتر شبه‌خنثایی، طول دبای و فرکانس پلاسمایی را به‌طور خلاصه بیان می‌کنیم.

طول دبای: خنثایی ماکروسکوپی و الکتریکی می‌توانند به طور طبیعی تغییر کنند، اما این تغییر فقط در فاصله‌ای صورت می‌گیرد که انرژی گرمایی ذره، که تمایل به اختلال در خنثایی الکتریکی را دارد و انرژی پتانسیل الکترواستاتیک، که تمایل به حفظ خنثایی الکتریکی را دارد در تعادل باشند. این فاصله از مرتبه‌ی یک پارامتر مشخصه طول پلاسما می‌باشد که طول دبای^۱ نامیده می‌شود. در غیاب نیروهای خارجی، پلاسما قادر نخواهد بود که خنثی بودن الکتریکی ماکروسکوپی را در فواصل کمتر از این طول دارا باشد، زیرا ذرات باردار به منظور خنثی نبودن الکتریکی هر ناحیه که دارای فزونی بار است آزادانه حرکت می‌کند که این وضعیت دراثر نیروی کولمب ایجاد می‌شود. لذا طول دبای اندازه‌ی فاصله‌ای را نشان می‌دهد که در این فاصله تأثیر میدان الکتریکی یک ذره باردار توسط ذره باردار دیگر درون پلاسما، احساس می‌شود. ذرات باردار به گونه‌ای آرایش می‌یابند که بتوانند در برابر میدان‌های الکتریکی و استاتیکی حفاظت ایجاد کنند. این حفاظدهی در برابر میدان‌های الکترواستاتیکی نتیجه‌ای از اثرات ذرات پلاسما می‌باشد. محاسبه‌ی فاصله‌ی حفاظدهی، اولین بار توسط دبای برای یک الکتروولیت

^۱ Debye lenght

صورت گرفت که طول دبای $\lambda_D = 10^{-4} m$ می‌باشد که با جذر دمای T نسبت مستقیم و با جذر چگالی تعداد الکترون‌ها n_e نسبت عکس دارد.

$$\lambda_D = \left(\frac{\varepsilon_o K_B T}{n_e q^2} \right)^{1/2} \quad (1-2)$$

به‌طوری که K_B ، ε_o و q به‌ترتیب ثابت بولتزمن، گزده‌ی خلاء و بار الکتریکی می‌باشد. طول دبای را می‌توان به عنوان اندازه فاصله‌ای در نظر گرفت که در این فاصله پتانسیل‌های الکتریکی در حال تغییر هستند.

فرکانس پلاسمایی: اگر شبه خنثایی پلاسما توسط بعضی از نیروهای خارجی از بین برود، الکترون‌ها برای برگرداندن حالت خنثایی شتاب می‌گیرند و حول یون‌ها که سنگین‌تر هستند، یک حرکت رفت و برگشتی پیدا می‌کنند. هنگامی که یک پلاسما به صورت لحظه‌ای از حالت تعادل خارج شود، میدان‌های ناشی از فضاهای بار درونی به وجود آمده در پلاسما، باعث افزایش حرکت تجمعی ذرات خواهند شد، که نتیجه‌ی آن تمایل به حفظ خنثایی بار الکتریکی می‌باشد. این حرکت‌های تجمعی به‌وسیله‌ی فرکانس طبیعی نوسانی بیان می‌شود که فرکانس پلاسما نامیده می‌شود و می‌توان ثابت کرد که:

$$\omega_{pe} = \sqrt{\frac{n_e e^2}{m_e \varepsilon_o}} \quad (2-2)$$

به‌طوری که m_e جرم الکtron، e بار الکtron می‌باشد. فرکانس نوسان در یک پلاسمای کاملاً یونیزه، همان فرکانس پلاسمای الکترونی است.

۲ - حرکت تجمعی

ویژگی دیگر پلاسما حرکت تجمعی ذرات باردار می‌باشد. در پلاسما که مشتمل بر ذرات باردار است، بارها با حرکت خود می‌توانند توده‌های متمرکری از بارهای مثبت یا منفی را به‌طور موضعی به‌وجود آورند و بدین ترتیب سبب پیدایش میدان‌های الکتریکی شوند. با حرکت بارها، جریان و درنتیجه میدان مغناطیسی هم تولید می‌شود. این میدان‌ها بر حرکت سایر ذرات باردار که دورتر واقع شده‌اند اثر می‌گذارند. لذا منظور از «رفتار جمعی»، حرکاتی است که نه تنها به شرایط موضعی، بلکه به‌حالت پلاسما در مناطق دور نیز بستگی دارند.

هر ذره باردار درون پلاسما به طور تجمعی با ذرات بارداری برهمنش دارد که درون کره‌ی دبای با شعاع λ_D ، واقع هستند و تأثیر آن‌ها بر دیگر بارها در خارج کرده‌ی دبای قابل صرف‌نظر است. می‌توان ثابت کرد که تعداد الکترون‌ها درون یک کره‌ی دبای عبارت است از:

$$N_D = \frac{4}{3} \pi \lambda_D^3 n_e = \frac{4}{3} \pi \left[\frac{\varepsilon k_T}{e^2 n_e^{1/3}} \right] \quad (3-2)$$

اثر حفاظ دبای مشخصه‌ی تمام پلاسماهای می‌باشد. شرط لازم برای آن که پلاسما وجود داشته باشد این است که ابعاد فیزیکی سیستم (L) در مقایسه با λ_D بزرگ باشد، زیرا باید فضای کافی جهت وقوع اثر حفاظ دهی و تجمع ذرات باردار وجود داشته باشد تا رفتار پلاسمایی مشاهده شود. بنابراین اولین معیار برای تعریف پلاسما عبارت است از:

$$L \gg \lambda_D \quad (4-2)$$

با توجه به اینکه اثر حفاظ دهی نتیجه‌ی رفتار تجمعی ذرات در درون کره‌ی دبای می‌باشد، لازم است که تعداد الکترون‌های درون کره‌ی دبای زیاد باشد. بنابراین دومین معیار جهت تعریف پلاسما عبارت است از:

$$n_e \lambda_D^3 \gg 1 \quad (5-2)$$

برای این‌که الکترون‌ها تحت تأثیر ذرات خنثی قرار نگیرند، باید زمان متوسط بین دو برخورد الکترون-ذره خنثی بزرگ‌تر از عکس بسامد پلاسمایی باشد.

$$\omega\tau > 1 \quad (6-2)$$

به‌طوری‌که τ نشان دهنده‌ی زمان متوسط میان برخورد یک الکترون با ذرات باردار خنثی بوده و ω بیانگر فرکانس زاویه‌ای نوسانات پلاسما است [۱۴ و ۱۵].

۵-۲ کاربردهای پلاسما

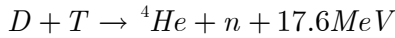
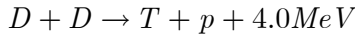
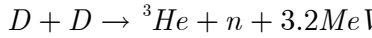
پلاسماهای می‌توان با دو پارامتر n و kT مشخص کرد. کاربردهای پلاسما، ناحیه‌ی بسیار وسیعی از n و kT را می‌پوشانند. در این‌جا برخی از کاربردهای پلاسما را بیان می‌کنیم.

۱-۵-۲ تخلیه‌های گازی

قدیمی‌ترین کار با پلاسما، مربوط به لانگمیر و همکارانش در سال ۱۹۲۰ می‌شود. تحقیقات در این مورد، از نیازی سرچشمی می‌گرفت که برای توسعه‌ی لوله‌های خلائی که بتوانند جریان‌های قوی را حمل کنند، و درنتیجه می‌بایست از گازهای یونیزه پر شوند احساس می‌شد [۱۵]. امروزه تخلیه‌های گازی در یکسوکننده‌های جیوه‌ای، مسیر جرقه، قوس‌های جوشکاری، لامپ‌های نئون و فلورسان و تخلیه‌های رعد و برق دیده می‌شوند.

۲-۵-۲ همجوشی گرما هسته‌ای کنترل شده

فیزیک پلاسمای جدید از حدود سال ۱۹۵۲ که در آن ساختن راکتوری براساس کنترل واکنش همجوشی بمب هیدروژنی پیشنهاد گردید آغاز می‌شود. واکنش‌های اساسی، که شامل اتم‌های دوتربیوم (D) و تریتیوم (T) هستند عبارتند از:



سطح مقطع‌های مربوط به این واکنش‌ها فقط وقتی قابل ملاحظه هستند که انرژی‌های تابشی بزرگ‌تر از $10eV$ باشند. باریکه‌های شتابداری از دوترون‌ها که هدفی را بمباران می‌کنند، مفید نمی‌باشند، زیرا اغلب دوترون‌ها قبل از اینکه واکنش همجوشی انجام دهند، انرژی خود را در اثر پراکندگی از دست می‌دهند. باید پلاسمایی بوجود آورد که در آن انرژی‌های حرارتی در ناحیه $10eV$ باشند.

۳-۵-۲ فیزیک فضا

کاربرد مهم دیگر فیزیک پلاسما مطالعه‌ی فضای اطراف زمین است. جریان پیوسته‌ای از ذرات باردار که باد خورشیدی نامیده می‌شود، به مگنتوسفر زمین برخورد می‌کند. مگنتوسفر حفاظتی در مقابل این تابش‌ها و در طول این فرآیند، توسط آن تغییر می‌یابد. پارامترهای نوعی در باد خورشیدی عبارتند از: $B = 5 \times 10^{-9} T$, $KT_e = 50eV$, $KT_i = 10eV$, $n = 5 \times 10^6 m^{-3}$.

۶-۲ پلاسمای غیرمغناطیسی

پلاسماهای غیرمغناطیسی اولین بار به دلیل همسانگرد بودن یکسان بودن خواص در جهات متفاوت، مورد مطالعه قرار گرفتند. امواج مورد استفاده در این پلاسماهای امواج الکترومغناطیسی با فرکانس‌های پایین هستند. پلاسما در مقابل این امواج به صورت دی‌الکتریک عمل می‌کند که این ناشی از واکنش الکترون‌ها به این امواج می‌باشد. در یک پلاسمای سرد مغناطیسی امواج صوتی به جای آن که در پلاسما منتشر شوند با فرکانسی نزدیک به فرکانس پلاسمایی نوسان می‌کنند. برای امواج الکترومغناطیسی نیز این حالت ممکن است.

در پلاسماهای گرمایی نیز امواج صوتی با فرکانسی نزدیک به فرکانس پلاسمایی وجود دارند. در این نوع پلاسما دمای الکترون‌ها و یون‌ها متفاوت است.

$$T_e \geq T_i \quad (8-2)$$

یک نوع پیوند میان امواج صوتی وجود دارد که به دمای الکترون‌ها و جرم یون‌ها وابسته است. این امواج در فرآیندهای اتلافی از بین می‌روند [۱۶].

۷-۲ پلاسمای مغناطیسی

تأثیر میدان مغناطیسی بر روی امواج پلاسمایی، موجب تغییراتی اساسی بر روی ویژگی‌های آن می‌شود که عبارتند از:

- ۱- غیرهمسانگردی: با حضور میدان مغناطیسی یک جهت برتر وجود دارد. میدان مغناطیسی باعث از بین رفتن همسانگردی می‌شود.
- ۲- تأثیرات مدار لارمور در پلاسما که ناشی از نیروی پاندرماتیو $(\vec{B} \times \vec{u}) q$ است، مشاهده می‌شود.

۸-۲ رفتار دینامیکی پلاسما

به طور کلی میدان‌های الکتریکی و مغناطیسی توسط معادلات ماکسول مطابق با شرایط مرزی و توزیع منابع جریان‌ها و چگالی‌ها تعیین می‌شوند [۱۷].

برهم‌کنش ذرات باردار با میدان‌های الکتریکی و مغناطیسی توسط نیروی لورنتس تعیین می‌شود. معادله‌ی حرکت برای یک ذره باردار با بار q و جرم m تحت تأثیر میدان‌های الکتریکی و مغناطیسی به صورت زیر نوشته می‌شود:

$$\frac{d\vec{P}}{dt} = q(\vec{E} + \vec{V} \times \vec{B}) \quad (9-2)$$

به‌طوری‌که P نکانه و V سرعت ذره می‌باشد. برای یک پلاسما که شامل N ذره است، N معادله‌ی حرکت دیفرانسیلی غیرخطی جفت شده خواهیم داشت که باید برای یک لحظه از زمان حل شوند. چگالی بار و باردار چگالی جریان را برای پلاسما می‌توان به‌ترتیب به صورت زیر بیان کرد:

$$\rho_\alpha = q_\alpha n_\alpha = q_\alpha \int_{-\infty}^{+\infty} f_\alpha(\vec{x}, \vec{v}, t) d^3 v \quad (10-2)$$

$$\vec{J}_\alpha = q_\alpha n_\alpha \vec{u}_\alpha = q_\alpha \int_{-\infty}^{+\infty} \vec{v} f_\alpha(\vec{x}, \vec{v}, t) d^3 v \quad (11-2)$$

یا $\rho = \sum_{\alpha} \rho_{\alpha}$ و $\vec{J} = \sum_{\alpha} \vec{J}_{\alpha}$ تابع توزیع بولتزمن ذره‌ی نوع α است.

در پلاسما، تعداد ذرات در سیستم فیزیکی معمولاً خیلی زیاد است و مسئله‌ی عمدۀ، توصیف رفتار تجمعی ذرات است تا بررسی تک ذره. دینامیک ذرات منفرد در برخی از حوزه‌های فیزیک پلاسما برای مقیاس‌های زمانی و مکانی به‌قدر کافی کوچک (میکروسکوپی) اهمیت دارد و رفتارهای تجمعی به‌خوبی توسط تقریب سیالی توصیف می‌شوند.

۹-۲ معادلات انتقال ماکروسکوپی

پلاسما یک دستگاه بس ذره‌ای باردار شبه‌خنثی است که با محیط خود برهمنش دارد. برای توصیف آن باید سیستم جفت شده‌ای را از معادلات ماکسول و معادلات حرکت ذره حل نمود. اما روش‌های کارآمدتری برای حل دینامیک پلاسما با استفاده از تقریب‌های مذکور وجود دارد، به طوری که برای بررسی حالت دستگاه مناسب است از مکانیک آماری استفاده نمود. اولین گام برای بیان سیال، معرفی سیال فازی است با فضای فازی شامل مجموعه‌ی مختصات و سرعت‌های (\vec{r}, \vec{v}) . مجموع کل n ذره دارای $6n$ درجه‌ی آزادی ($3n$ فضایی، $3n$ سرعت) می‌باشند. با انتگرال‌گیری از معادله‌ی لیوویل بر روی $(n-1)$ مختصه و $3(n-1)$ مؤلفه سرعت معادله‌ی بولتزمن به‌دست می‌آید. از جمله کمیت‌هایی که در مکانیک آماری برای محاسبه میانگین کمیت‌های فیزیکی نیاز است، تابع بولتزمن $f_{\alpha}(\vec{r}, \vec{v}, t)$ می‌باشد که به عنوان چگالی ذرات در فضای فاز تعریف می‌شود و از معادله‌ی زیر به‌دست می‌آید.

$$\frac{\partial f_{\alpha}}{\partial t} + \vec{v} \cdot \vec{\nabla} f_{\alpha} + \vec{a} \cdot \vec{\nabla}_v f_{\alpha} = \left(\frac{\delta f_{\alpha}}{\delta t} \right)_{coll} \quad (12-2)$$

به‌طوری که $\vec{a} = q_{\alpha}/m_{\alpha} (\vec{E} + \vec{v}_{\alpha} \times \vec{B})$ ، شتاب وارد بر ذره، $\vec{\nabla}_v$ عملگر برداری گرادیان است که مؤلفه‌های آن‌ها به ترتیب مشتق‌گیری نسبت به مؤلفه‌های بردار مکان و بردار سرعت هستند و جمله‌ی سمت راست آهنگ تغییر چگالی ذره نوع α ناشی از برخورد در فضای فاز است. برای بررسی پارامترهای ماکروسکوپی دستگاه کل، معادله‌ی (۱۲-۲) را در کمیت فیزیکی که هدف محاسبه‌ی میانگین آن است ضرب می‌کنیم و روی سرعت انتگرال می‌گیریم و با ساده‌سازی به معادلات انتقال کمیت فیزیکی χ می‌رسیم.

$$\frac{\partial}{\partial t} \left(n_{\alpha} \langle \chi \rangle_{\alpha} \right) + \vec{\nabla} \cdot \left(n_{\alpha} \langle \chi \vec{v} \rangle_{\alpha} \right) - n_{\alpha} \left\langle \vec{a} \cdot \vec{\nabla}_v \chi \right\rangle_{\alpha} = \left(\frac{\delta}{\delta t} \left(n_{\alpha} \langle \chi \rangle_{\alpha} \right) \right)_{coll} \quad (13-2)$$

بهطوری که در رابطه‌ی بالا، $\chi_{\alpha}(\vec{r}, \vec{v}, t)$ نشان دهنده‌ی هر کمیت فیزیکی دلخواه است. همچنین جمله‌ی سمت راست نشان دهنده‌ی میزان تغییرات میانگین چگالی کمیت فیزیکی χ ناشی از برخورد است.

۱-۹-۲ معادله‌ی انتقال جرم

معادله‌ی (13-2) یک عبارت کلی است که برای هر کمیت دلخواهی استفاده می‌شود. با قرار دادن معادله‌ی بقای جرم یا همان معادله پیوستگی را بهصورت زیر بهدست می‌آوریم:

$$\frac{\partial \rho_{m\alpha}}{\partial t} + \vec{\nabla} \cdot (\rho_{m\alpha} \vec{u}_{\alpha}) = S_{\alpha} \quad (14-2)$$

بهطوری که $\rho_{m\alpha}$ چگالی جرمی ذرات نوع α و S_{α} آهنگ تولید یا نابودی ذرات نوع α ناشی از برخورد می‌باشد که به صورت زیر تعریف می‌شود:

$$S_{\alpha} = m_{\alpha} \int_V \left(\frac{\delta f_{\alpha}}{\delta t} \right)_{collision} d^3V \quad (15-2)$$

با تقسیم معادله‌ی (14-2) بر m_{α} ، قانون بقاء تعداد ذرات بهصورت زیر بهدست می‌آید:

$$\frac{\partial n_{\alpha}}{\partial t} + \vec{\nabla} \cdot (n_{\alpha} \vec{u}_{\alpha}) = \frac{s_{\alpha}}{m_{\alpha}} \quad (16-2)$$

همچنین با تقسیم معادله‌ی (14-2) بر m_{α} و ضرب در کمیت q_{α} ، قانون بقاء بار الکتریکی بهصورت زیر بهدست می‌آید:

$$\frac{\partial \rho_{\alpha}}{\partial t} + \vec{\nabla} \cdot (\rho_{m\alpha} \vec{u}_{\alpha}) = \frac{q_{\alpha}}{m_{\alpha}} s_{\alpha} \quad (17-3)$$

در غیاب برهم‌کنش‌هایی که منجر به تولید یا نابودی ذرات نوع α می‌شوند، S_{α} صفر است، زیرا در فرآیند برخورد، جرم ثابت می‌ماند. در این حالت داریم:

$$\frac{\partial \rho_{m\alpha}}{\partial t} + \vec{\nabla} \cdot (\rho_{m\alpha} \vec{u}_{\alpha}) = 0 \quad (18-2)$$

۲-۹-۲ معادله‌ی انتقال تکانه

برای محاسبه‌ی تابع انتقال تکانه، کمیت مورد نظر را تکانه‌ی خطی ذرهی نوع α یعنی $\chi_{\alpha}(r, v, t) = m_{\alpha} \vec{V}$ انتخاب می‌کنیم. سرعت ذرات نوع α نسبت به دستگاه S ، برابر است با:

که \vec{c}_α سرعت ذره α نسبت به دستگاه کاتورهای و \vec{u}_α سرعت کاتورهای ذرات نوع α نسبت به دستگاه مختصات S می‌باشد. می‌توان اثبات کرد که میانگین سرعت ذرات در دستگاه کاتورهای صفر است.

$$\langle \vec{c}_\alpha \rangle = 0 \quad (19-2)$$

با جایگزینی کمیت‌های بالا در معادله انتقال کلی (۱۳-۲) داریم:

$$\rho_{m\alpha} \frac{D_\alpha \vec{u}_\alpha}{D_\alpha t} = n_\alpha q_\alpha (\vec{E} + \vec{u}_\alpha \times \vec{B}) + \rho_{m\alpha} \vec{g} - \vec{\nabla} \cdot \bar{\bar{p}}_\alpha + \vec{A}_\alpha - \vec{u}_\alpha \vec{S}_\alpha \quad (20-2)$$

به طوری که \vec{E} , \vec{B} , \vec{g} به ترتیب میدان‌های الکتریکی، مغناطیسی و گرانشی درون پلاسمما، $\bar{\bar{p}}_\alpha$ تانسور مرتبه دوم فشار درون پلاسمما است که به صورت زیر تعریف می‌شود:

$$\bar{\bar{p}}_\alpha = \rho_{m\alpha} \langle \vec{c}_\alpha \vec{c}_\alpha \rangle \quad (21-2)$$

به طوری که $D_\alpha / D_\alpha t$ تغییرات زمانی کمیت‌های فیزیکی را، از دید ناظر دستگاه کاتورهای بیان می‌کند که به این صورت تعریف می‌شود:

$$\frac{D_\alpha}{D_\alpha t} = \frac{\partial}{\partial t} + \vec{u}_\alpha \cdot \vec{\nabla} \quad (22-2)$$

همچنین فرض شده است که جمله‌ی آخر در معادله انتقال شامل نیروهای الکترومغناطیسی لورنتس و نیروی گرانشی است:

$$-n_\alpha \langle \vec{F} \rangle_\alpha = -n_\alpha q_\alpha (\vec{E} + \vec{u}_\alpha \times \vec{B}) - n_\alpha m_\alpha \vec{g} \quad (23-2)$$

به طوری که \vec{A}_α آهنگ تغییر چگالی تکانه ذرات نوع α ناشی از برخورد است که به صورت زیر بیان می‌شود:

$$\vec{A}_\alpha = \left(\frac{\delta}{\delta t} (\rho_{m\alpha} \vec{u}_\alpha) \right)_{\text{collision}} \quad (24-2)$$

در بسیاری از موارد تأثیرات ویسکوزیته^۱ بر روی پلاسمما دارای اهمیت نمی‌باشد و رفتار پلاسمما همانند رفتار یک سیال غیرچسبنده است. لذا در این حالت پلاسمما همانند محیط همسانگرد رفتار کرده و در

نتیجه $\bar{\bar{p}}_\alpha = \bar{\bar{1}}$ خواهد بود به طوری که $\bar{\bar{p}}_\alpha$ تانسور واحد و p_α فشار اسکالر ذره‌ی نوع α می‌باشد.

لذا با توجه به این تأثیرات و با فرض این‌که تابع سرعت همسانگرد است، می‌توان نیرو در واحد حجم را به صورت زیر نوشت:

$$-\vec{\nabla} \cdot \bar{\bar{p}}_\alpha = -\vec{\nabla} p_\alpha \quad (25-2)$$

^۱viscosity

با درنظر گرفتن این تقریب‌ها و با فرض این‌که آهنگ تولید یا نابودی ذرات در اثر برخورد صفر می‌باشد، در نهایت معادله‌ی انتقال تکانه بهصورت زیر نوشته می‌شود:

$$\rho_{m\alpha} \frac{D\vec{u}_\alpha}{Dt} = \rho_\alpha (\vec{E} + \vec{u}_\alpha \times \vec{B}) + \rho_{m\alpha} \vec{g} - \vec{\nabla} p_\alpha + \vec{A}_\alpha \quad (26-2)$$

۳-۹-۲ تابع انتقال انرژی

کمیت فیزیکی دیگر وابسته به ذرات α ، انرژی جنبشی ذرات α است که با قرار دادن

$$\chi_\alpha(r, v, t) = \frac{1}{2} m_\alpha \vec{V}^2 \quad (27-2)$$

$$\frac{D_\alpha}{D_\alpha t} \left(\frac{3p_\alpha}{2} \right) + \frac{3p_\alpha}{2} \left(\vec{\nabla} \cdot \vec{u}_\alpha \right) + (\bar{\bar{p}}_\alpha \cdot \vec{\nabla}) \cdot \vec{u}_\alpha + \vec{\nabla} \cdot \vec{q}_\alpha = M_\alpha - \vec{u}_\alpha \cdot \vec{A}_\alpha + \frac{\vec{u}_\alpha^2 \vec{S}_\alpha}{2}$$

بهطوری که \vec{q}_α شار انرژی حرارتی ذرات نوع α و $3p_\alpha/2$ انرژی جنبشی حرارتی است.

همچنین تک تک جملات بهصورت زیر توصیف می‌شوند:

$$\frac{D_\alpha}{D_\alpha t} \left(\frac{3p_\alpha}{2} \right) : \text{بیانگر آهنگ تغییرات چگالی انرژی جنبشی حرارتی (انرژی گرمایی) از دید ناظر}$$

متحرک با سرعت \vec{u}_α می‌باشد.

$$\vec{u}_\alpha \cdot \frac{3p_\alpha}{2} \left(\vec{\nabla} \cdot \vec{u}_\alpha \right) : \text{بیانگر تغییر چگالی انرژی گرمایی ناشی از ورود ذرات به داخل حجم با سرعت}$$

می‌باشد.

$$(\bar{\bar{p}}_\alpha \cdot \vec{\nabla}) \cdot \vec{u}_\alpha : \text{بیانگر کار انجام شده روی واحد حجم پلاسما توسط پلاسمای اطراف المان واحد حجم می‌باشد.}$$

$\vec{q}_\alpha \cdot \vec{\nabla}$: بیانگر تغییر چگالی انرژی گرمایی ناشی از شار گرمایی می‌باشد.

جملات سمت راست بیانگر آهنگ انرژی گرمایی ناشی از برخورد ذرات است.

با ترکیب دو جمله‌ی اول، معادله‌ی کلی انتقال انرژی بهصورت زیر بهدست می‌آید:

$$\frac{3}{2} n_\alpha k \frac{D_\alpha T_\alpha}{D_\alpha t} + (\bar{\bar{p}}_\alpha \cdot \vec{\nabla}) \cdot \vec{u}_\alpha + \vec{\nabla} \cdot \vec{q}_\alpha = \vec{M}_\alpha - \vec{u}_\alpha \cdot \vec{A}_\alpha + \left(\frac{\vec{u}_\alpha^2}{2} - \frac{3kT_\alpha}{2m_\alpha} \right) \vec{S}_\alpha \quad (28-2)$$